



Projet : Parallélisation d'une simulation de feu de forêt

Cédric DADA
Nicolas RINCON

cedric-darel.dada@ensta.fr
nicolas.rincon@ensta.fr

École Nationale Supérieure de Techniques Avancées - ENSTA
Systèmes parallèles et distribués - OS02
Palaiseau, France

ANNÉE ACADÉMIQUE 2024-2025

Table des matières

1	Introduction	4
2	Architecture matérielle	4
2.1	Informations clés de l'ordinateur	6
3	Les étapes de la parallélisation	7
3.1	Étape 1 : Parallélisation avec OpenMP	7
3.2	Étape 2 : Parallélisation avec MPI	7
3.3	Étape 3 : Combinaison de MPI et OpenMP	7
3.4	Étape 4 : Parallélisation complète avec MPI	7
4	Étape 0 : Programme séquentiel	7
4.1	Fichiers principaux	7
4.1.1	simulation.cpp : contrôle principal de la simulation	7
4.1.2	model.cpp : propagation du feu	7
4.1.3	display.cpp : affichage graphique	8
4.2	Problèmes de la version séquentielle	8
4.3	Simulation	8
5	Étape 1 : Parallélisation avec OpenMP	8
5.1	Parallélisation du calcul de la propagation du feu	8
5.2	Comment s'assurer que nous obtenons la même simulation ?	9
5.3	Pourquoi utiliser schedule(static) ?	9
5.4	Conclusion de l'implémentation	9
5.5	Résultats :	10
5.6	Interprétation des résultats	10
6	Étape 2 : Séparation du calcul et de l'affichage avec MPI	10
6.1	Organisation des processus dans simulation.cpp	11
6.2	Choix des communications MPI	11
6.2.1	MPI_Irecv et MPI_Waitall pour l'affichage asynchrone	11
6.2.2	MPI_Isend pour l'envoi asynchrone des données	11
6.2.3	MPI_Iprobe pour détecter la fin de la simulation	11
6.2.4	MPI_Reduce pour mesurer les performances	12
6.3	Résultats obtenus	12
6.4	Interprétation du Speedup	12
6.5	Conclusion de l'implémentation	13
7	Étape 3 : MPI + OpenMP	13
7.1	Ajout d'OpenMP dans les processus MPI (simulation.cpp)	13
7.2	Parallélisation interne des calculs	13
7.3	Optimisation des communications MPI	14
7.4	Résultats obtenus	14
7.5	Interprétation des résultats obtenus	15
7.6	Conclusion de l'implémentation	15
8	Étape 4 : Parallélisation complète avec MPI	15
8.1	Décomposition de la grille entre processus	15
8.2	Introduction des cellules fantômes	16
8.3	Échange des Cellules Fantômes	17
8.3.1	Paramètres	17
8.3.2	Architecture des Données	17
8.3.3	Étapes d'Échange	18
8.3.4	Conditions aux Limites	18
8.3.5	Optimisations	18

8.4	Répartition des Taches	18
8.5	Optimisation des échanges et synchronisation	18
8.6	Récupération finale des données et affichage	19
8.7	Résultats obtenues	19
8.8	Conclusion	22
8.9	Interprétation des résultats	22
8.10	Comparaison avec la partie 3	22

Table des figures

1	Résultat de la commande lstopo : Nous pouvons visualiser les tailles des caches	4
2	Résultat de la commande lscpu	5
3	Architecture des communications.	21

Remarque préalable

Ce travail a été réalisé sur la base des résultats obtenus à partir des exécutions disponibles sur le dépôt GitHub suivant : https://github.com/CedricDada/Cours_Ensta_2025 ou https://github.com/Nrinconv/OS02_ENSTA.

Données des différentes simulations Pour plus de transparence, nous avons fourni dans chaque dossier src, un fichier `results.txt` qui contient les résultats des différentes simulations que nous avons réalisé et qui nous ont permis de tracer les différentes courbes qui apparaissent dans ce rapport.

1 Introduction

Ce projet a pour objectif de simuler la propagation d'un incendie de forêt en tenant compte de la densité de la végétation et des conditions de vent. La simulation repose sur un modèle probabiliste qui détermine la propagation du feu à partir de deux probabilités principales : la probabilité qu'un feu se propage à une cellule voisine et la probabilité que le feu s'éteigne progressivement.

Le programme est d'abord implémenté en mode séquentiel, puis il est parallélisé progressivement en plusieurs étapes afin d'améliorer ses performances. La parallélisation est réalisée en utilisant OpenMP pour l'exécution sur un seul nœud multi-cœurs, puis en utilisant MPI pour répartir la charge sur plusieurs processus, et enfin en combinant les deux approches.

2 Architecture matérielle

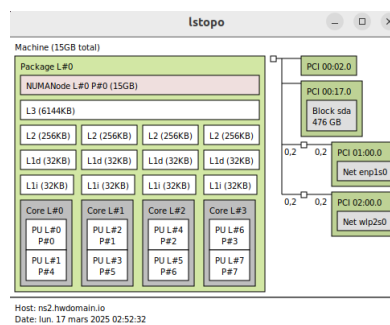


FIGURE 1 – Résultat de la commande `lstopo` : Nous pouvons visualiser les tailles des caches

```

cedric@ns2:~$ lscpu
Architecture :                x86_64
  Mode(s) opératoire(s) des processeurs : 32-bit, 64-bit
  Address sizes:              39 bits physical, 48 bits virtual
  Boutisme :                  Little Endian
Processeur(s) :                8
  Liste de processeur(s) en ligne :      0-7
Identifiant constructeur :      GenuineIntel
  Nom de modèle :              Intel(R) Core(TM) i5-10210U CPU @ 1.60GHz
  Famille de processeur :        6
  Modèle :                    142
  Thread(s) par cœur :          2
  Cœur(s) par socket :          4
  Socket(s) :                  1
  Révision :                   12
  Vitesse maximale du processeur en MHz : 4200,0000
  Vitesse minimale du processeur en MHz : 400,0000
  BogomIPS :                   4199.88
  Drapaux :                    fpu vme de pse tsc msr pae mce cx8 a
                               pic sep mtrr pge mca cmov pat pse36
                               clflush dts acpi mmx fxsr sse sse2 s
                               s ht tm pbe syscall nx pdpe1gb rdtsc
                               p lm constant_tsc art arch_perfmon p
                               ebs bts rep_good nopl xtopology nons
                               top_tsc cpuid aperfmperf pni pclmulq
                               dq dtes64 monitor ds_cpl vmx est tm2
                               ssse3 sdbg fma cx16 xtpr pdcm pcid
                               sse4_1 sse4_2 x2apic movbe popcnt ts
                               c_deadline_timer aes xsave avx f16c
                               rdrand lahf_lm abm 3dnowprefetch cpu
                               id_fault epb ssbd ibrs ibpb stibp ib
                               rs_enhanced tpr_shadow flexpriority
                               ept vpid ept_ad fsgsbase tsc_adjust
                               bmi1 avx2 smep bmi2 erms invpcid mpx
                               rdseed adx smap clflushopt intel_pt
                               xsaveopt xsavec xgetbv1 xsaves dthe
                               rm ida arat pln pts hwp hwp_notify h
                               wp_act_window hwp_epp vnmi md_clear
                               flush_l1d arch_capabilities

Virtualization features:
  Virtualisation :              VT-x
Caches (sum of all):
  L1d:                          128 KiB (4 instances)
  L1i:                          128 KiB (4 instances)
  L2:                           1 MiB (4 instances)
  L3:                           6 MiB (1 instance)
NUMA:
  Nœud(s) NUMA :                1
  Nœud NUMA 0 de processeur(s) : 0-7
Vulnerabilities:
  Gather data sampling:         Mitigation; Microcode
  Itlb multihit:                KVM: Mitigation: VMX disabled
  L1tf:                         Not affected
  Mds:                         Not affected

```

FIGURE 2 – Résultat de la commande lscpu

2.1 Informations clés de l'ordinateur

Contexte d'exécution

- **Système d'exploitation** : Ubuntu installé en dual boot (natif).
- **Runtime** : Exécution native sur le matériel, sans virtualisation intermédiaire.
- **Avantages du natif** : Meilleure performance grâce à l'absence de surcharge liée à une couche de virtualisation.

Architecture et processeur

- **Architecture** : x86_64 (64 bits).
- **Modèle du processeur** : Intel(R) Core(TM) i5-10210U.
- **Fréquence** :
 - Base : 1.60 GHz.
 - Turbo Boost : 4.20 GHz.
- **Cœurs et threads** : 4 cœurs physiques, 8 threads (Hyper-Threading).
- **Importance** : Permet une parallélisation efficace avec jusqu'à 8 threads.

Cache

- **L1d** : 128 KiB (4 instances).
- **L1i** : 128 KiB (4 instances).
- **L2** : 1 MiB (4 instances).
- **L3** : 6 MiB (1 instance).
- **Importance** : Réduit la latence d'accès à la mémoire, crucial pour les simulations intensives en calcul.

3 Les étapes de la parallélisation

3.1 Étape 1 : Parallélisation avec OpenMP

Dans cette première phase, l'évolution de l'incendie est parallélisée à l'aide d'OpenMP. L'objectif est d'exécuter les calculs en parallèle sur plusieurs threads d'un même processeur en répartissant les cellules enflammées entre les threads.

3.2 Étape 2 : Parallélisation avec MPI

Dans cette deuxième étape, l'affichage et le calcul de la simulation sont séparés. Un processus MPI est dédié à l'affichage, tandis qu'un autre processus est responsable des calculs. Cette approche permet une exécution distribuée sur plusieurs machines.

3.3 Étape 3 : Combinaison de MPI et OpenMP

Dans cette phase, on combine les méthodes précédentes : MPI est utilisé pour répartir le travail entre plusieurs processus, et chaque processus utilise OpenMP pour paralléliser les calculs sur plusieurs cœurs. Cela permet d'exploiter pleinement les architectures hybrides.

3.4 Étape 4 : Parallélisation complète avec MPI

La dernière étape consiste à paralléliser complètement l'exécution en utilisant uniquement MPI. Le domaine de simulation est divisé entre plusieurs processus MPI, chaque processus traitant une sous-région du terrain. Des cellules fantômes sont utilisées pour synchroniser les zones adjacentes. Un processus reste responsable de l'affichage, tandis que les autres effectuent les calculs en parallèle.

4 Étape 0 : Programme séquentiel

Avant d'ajouter la parallélisation, une première version du programme est développée en mode séquentiel. Cette version exécute la simulation sur un seul cœur, sans utiliser OpenMP ni MPI.

Le programme est divisé en plusieurs fichiers, chacun ayant un rôle spécifique.

4.1 Fichiers principaux

4.1.1 `simulation.cpp` : contrôle principal de la simulation

Ce fichier contient la boucle principale qui fait avancer la simulation. Il réalise les actions suivantes :

- Initialise les paramètres (taille de la grille, probabilités, conditions initiales).
- Met à jour le modèle à chaque itération.
- Mesure le temps d'exécution pour analyser les performances.
- Affiche l'état actuel avec les fonctions du module `display`.

4.1.2 `model.cpp` : propagation du feu

Ce fichier contient les règles de propagation du feu :

- Applique les probabilités pour décider si une cellule prend feu ou s'éteint.
- Met à jour les cellules en fonction de ces règles.
- Enregistre l'état du système toutes les 100 itérations pour pouvoir analyser les résultats.

4.1.3 display.cpp : affichage graphique

Ce fichier utilise la bibliothèque SDL pour afficher la simulation :

- Initialise la fenêtre de rendu.
- Affiche la grille avec des couleurs représentant les différents états des cellules.
- Met à jour l’affichage à chaque itération.
- Gère les interactions avec l’utilisateur (fermeture de la fenêtre, pause).

4.2 Problèmes de la version séquentielle

Dans cette version, tous les calculs sont faits sur un seul cœur. Cela pose des problèmes de performance :

- Temps d’exécution long : quand la grille est grande, la simulation prend beaucoup de temps.
- Utilisation inefficace du processeur : seul un cœur est utilisé, alors que plusieurs sont disponibles.
- Affichage lent : quand les calculs sont trop longs, l’affichage n’est pas fluide.

4.3 Simulation

Dans le but d’obtenir des temps de simulation appréciables (de l’ordre de 0.1 s), nous avons dû effectuer les simulations sur des grilles très grandes ($n = 1500$ et 2000).

Paramètres	Temps Mise à Jour (s)	Temps Affichage (s)	Temps Total (s)
$l = 400, n = 1500, w = [20.0, 12.0], s = [12, 15]$	0.129754	0.167813	0.297567
$l = 400, n = 2000, w = [20.0, 12.0], s = [12, 15]$	0.124577	0.286312	0.410889

TABLE 1 – Résultats de l’exécution du code original

5 Étape 1 : Parallélisation avec OpenMP

La première étape de parallélisation consiste à utiliser OpenMP pour accélérer les calculs de propagation du feu et l’affichage de la simulation. Cela permet d’exploiter les architectures multi-cœurs d’un même processeur.

5.1 Parallélisation du calcul de la propagation du feu

Dans la version séquentielle, la mise à jour du feu était effectuée en parcourant la grille cellule par cellule dans le fichier `model.cpp`. Cette opération a été parallélisée en utilisant OpenMP avec la directive `#pragma omp parallel for`, ce qui permet de répartir les calculs entre plusieurs threads. Un double buffer a été introduit pour éviter les conflits d’accès aux données partagées. (modification dans `model.cpp`)

```
1 // Avant (séquentiel) dans model.cpp
2 for (int i = 0; i < m_geometry; ++i) {
3     for (int j = 0; j < m_geometry; ++j) {
4         // Calcul de la propagation du feu
5     }
6 }
7
8 // Après (parallélisé avec OpenMP) dans model.cpp
9 #pragma omp parallel for schedule(static)
10 for (int i = 0; i < static_cast<int>(m_geometry); ++i) {
11     for (int j = 0; j < static_cast<int>(m_geometry); ++j) {
12         std::size_t key = i * m_geometry + j;
13         if (m_fire_map[key] > 0) {
14             // Mise à jour du feu en fonction des cellules voisines
15         }
16     }
17 }
```

5.2 Comment s'assurer que nous obtenons la même simulation ?

Nous avons défini une fonction `log_grids` qui permet d'écrire dans un fichier `simulation_log.txt` le contenu des différentes grilles (fe

```
1 //Dans le fichier Model.cpp
2
3 void Model::log_grids(std::size_t step) const {
4     std::ofstream file("simulation_log.txt", std::ios::app);
5     file << "Step " << step << " - Fire Map:\n";
6     for (std::size_t i = 0; i < m_geometry; ++i) {
7         for (std::size_t j = 0; j < m_geometry; ++j) {
8             file << std::setw(4) << static_cast<int>(m_fire_map[i * m_geometry + j]);
9         }
10        file << "\n";
11    }
12    file << "Vegetation Map:\n";
13    for (std::size_t i = 0; i < m_geometry; ++i) {
14        for (std::size_t j = 0; j < m_geometry; ++j) {
15            file << std::setw(4) << static_cast<int>(m_vegetation_map[i * m_geometry + j
16        ]);
17    }
18    file << "\n";
19 }
20 }
```

Cette fonction peut alors être appelée dans la fonction `update` de la manière suivante :

```
1 bool Model::update() {
2     //...
3     if (m_time_step == 1100) {
4         log_grids(m_time_step);
5     }
6 }
```

5.3 Pourquoi utiliser `schedule(static)` ?

Dans OpenMP, `schedule` contrôle comment les itérations de la boucle sont réparties entre les threads. Plusieurs stratégies existent :

- **static** : chaque thread reçoit un bloc fixe d'itérations à traiter.
- **dynamic** : les tâches sont distribuées dynamiquement, un thread prend une nouvelle tâche dès qu'il a terminé la précédente.
- **guided** : comme `dynamic`, mais avec des tailles de blocs qui diminuent progressivement.

Nous avons choisi `schedule(static)` pour plusieurs raisons :

- Uniformité du coût de calcul : chaque cellule a un coût de traitement similaire, donc une répartition fixe est efficace.
- Réduction des surcharges : contrairement à `dynamic`, la planification statique ne nécessite pas de synchronisation entre les threads à chaque nouvelle tâche.
- Meilleure exploitation du cache : les données de la grille sont stockées en mémoire contiguë, et une répartition fixe permet à chaque thread d'accéder à des régions proches en mémoire, ce qui améliore l'efficacité du cache.

Si la charge de travail par cellule avait été plus variable, une planification dynamique (`schedule(dynamic)`) aurait pu être plus adaptée. Toutefois, dans ce cas précis, la répartition statique est plus performante.

5.4 Conclusion de l'implémentation

Grâce à ces améliorations :

- Le calcul de la propagation du feu (`model.cpp`) est réparti entre plusieurs threads, réduisant ainsi le temps d'exécution.
- La planification statique nous garantit un bon **équilibre des charges** entre les différents threads.

Cette version reste limitée à l'utilisation d'un seul nœud avec plusieurs cœurs.

5.5 Résultats :

Speedup Global en fonction du nombre de threads (Partie 1)

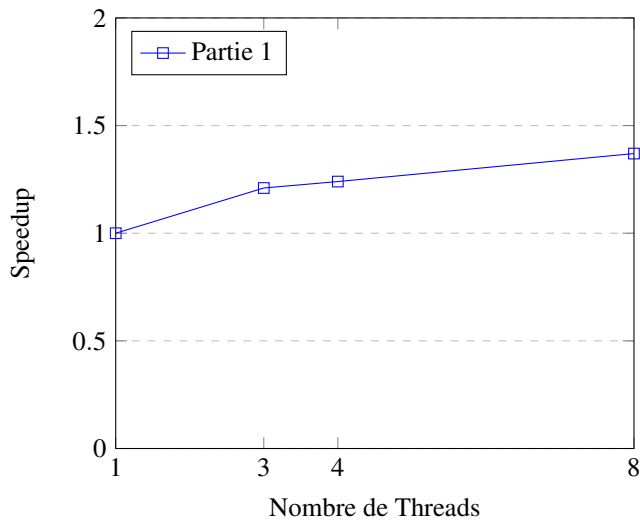


TABLE 2 – Speedup Global en fonction du nombre de threads (Partie 1)

Nombre de Threads	Temps Calcul (s)	Temps Affichage (s)	Temps Total (s)	Speedup
1 (Séquentiel)	0.129754	0.167813	0.297567	1.00
3	0.0256197	0.21956	0.24518	1.21
4	0.0269534	0.212806	0.23976	1.24
8	0.0247988	0.191629	0.21643	1.37

5.6 Interprétation des résultats

- Pour 3 threads : Speedup = 1.21

Interprétation : L'utilisation de 3 threads permet une accélération de 21 % par rapport à la version séquentielle. Cela montre que la parallélisation OpenMP est efficace, mais l'accélération est limitée par le temps d'affichage, qui ne peut pas être parallélisé.

- Pour 4 threads : Speedup = 1.24

- Interprétation : L'ajout d'un thread supplémentaire améliore légèrement le speedup à 24 %. Cela indique que la parallélisation commence à atteindre ses limites en termes de scalabilité.

- Pour 8 threads : Speedup = 1.37

Interprétation : Avec 8 threads, le speedup atteint 37 %. Cela montre que l'augmentation du nombre de threads permet une meilleure exploitation des ressources, mais l'accélération reste modérée en raison du temps d'affichage séquentiel.

6 Étape 2 : Séparation du calcul et de l'affichage avec MPI

Dans cette étape, nous avons utilisé MPI pour séparer la simulation en deux processus distincts :

- **Le processus maître (rank 0)** : responsable de l'affichage.
- **Le processus esclave (rank 1)** : effectue les calculs de propagation du feu et envoie les données mises à jour au maître.

Cette séparation permet d'améliorer la fluidité de l'affichage et d'éviter que les calculs ralentissent la mise à jour visuelle.

6.1 Organisation des processus dans simulation.cpp

Dans la version séquentielle, un seul processus réalisait à la fois les calculs et l’affichage. Maintenant, grâce à MPI, chaque processus a un rôle spécifique :

```
1 // Processus maître (rank 0) : affichage
2 if (rank == 0) {
3     auto displayer = Displayer::init_instance(params.discretization, params.
4         discretization);
5     while (true) {
6         MPI_Recv(vegetation.data(), vegetation.size(), MPI_UINT8_T, 1, 0, MPI_COMM_WORLD,
7             MPI_STATUS_IGNORE);
8         MPI_Recv(fire.data(), fire.size(), MPI_UINT8_T, 1, 1, MPI_COMM_WORLD,
9             MPI_STATUS_IGNORE);
10        displayer->update(vegetation, fire);
11    }
12 }
13 // Processus esclave (rank 1) : calculs
14 else if (rank == 1) {
15     Model simu(params.length, params.discretization, params.wind, params.start);
16     while (simu.update()) {
17         MPI_Isend(simu.vegetal_map().data(), vegetation.size(), MPI_UINT8_T, 0, 0,
18             MPI_COMM_WORLD, MPI_STATUS_IGNORE);
19         MPI_Isend(simu.fire_map().data(), fire.size(), MPI_UINT8_T, 0, 1, MPI_COMM_WORLD,
20             MPI_STATUS_IGNORE);
21     }
22 }
```

6.2 Choix des communications MPI

L’un des aspects clés de cette implémentation est la gestion efficace de la communication entre les processus. Nous avons utilisé plusieurs méthodes MPI adaptées aux besoins de la simulation :

6.2.1 MPI_Irecv et MPI_Waitall pour l’affichage asynchrone

Le processus maître (rank 0) ne doit pas bloquer inutilement l’affichage en attendant les données du processus esclave. Pour éviter cela, nous utilisons des réceptions asynchrones avec MPI_Irecv :

```
1 // Réception asynchrone des données envoyées par l’esclave
2 MPI_Irecv(vegetation.data(), vegetation.size(), MPI_UINT8_T, 1, 0, MPI_COMM_WORLD, &reqs
3     [0]);
4 MPI_Irecv(fire.data(), fire.size(), MPI_UINT8_T, 1, 1, MPI_COMM_WORLD, &reqs[1]);
5 // Attente de la réception complète avant mise à jour de l’affichage
6 MPI_Waitall(2, reqs, MPI_STATUSES_IGNORE);
7 displayer->update(vegetation, fire);
```

L’utilisation de MPI_Irecv permet au processus maître de continuer à exécuter d’autres tâches pendant que les données arrivent.

6.2.2 MPI_Isend pour l’envoi asynchrone des données

De même, pour éviter que le processus esclave ne soit bloqué à chaque envoi, nous utilisons MPI_Isend, qui permet d’envoyer les tableaux de simulation sans arrêter immédiatement l’exécution :

```
1 MPI_Isend(vegetation.data(), vegetation.size(), MPI_UINT8_T, 0, 0, MPI_COMM_WORLD,
2     MPI_STATUS_IGNORE);
3 MPI_Isend(fire.data(), fire.size(), MPI_UINT8_T, 0, 1, MPI_COMM_WORLD, MPI_STATUS_IGNORE)
4     ;
```

Cela permet d’optimiser la communication et d’éviter une surcharge inutile sur le processus esclave.

6.2.3 MPI_Iprobe pour détecter la fin de la simulation

Le processus maître doit pouvoir détecter quand la simulation est terminée. Pour cela, nous utilisons MPI_Iprobe, qui vérifie s’il existe un message en attente sans bloquer le programme :

```

1 int flag = 0;
2 MPI_Status status;
3 MPI_Iprobe(1, 2, MPI_COMM_WORLD, &flag, &status);
4 if (flag) {
5     int term;
6     MPI_Recv(&term, 1, MPI_INT, 1, 2, MPI_COMM_WORLD, MPI_STATUS_IGNORE);
7     keep_running = false;
8 }

```

Si un message est disponible, le maître le récupère avec `MPI_Recv`, ce qui lui permet de quitter proprement la boucle d’affichage.

6.2.4 MPI_Reduce pour mesurer les performances

Pour analyser l’impact des communications, nous avons ajouté un suivi du temps d’exécution à chaque itération :

```

1 double iter_start = MPI_Wtime();
2 ...
3 double iter_end = MPI_Wtime();
4 double local_iter_time = iter_end - iter_start;
5
6 // Récupération du temps maximal de l’itération parmi tous les processus
7 double global_iter_time = 0.0;
8 MPI_Reduce(&local_iter_time, &global_iter_time, 1, MPI_DOUBLE, MPI_MAX, 0, MPI_COMM_WORLD);

```

Cette opération garantit que nous mesurons le temps maximum pris par un processus à chaque itération, ce qui est utile pour identifier d’éventuels goulots d’étranglement.

6.3 Résultats obtenus

Speedup Global en fonction de la taille de la grille (Partie 2)

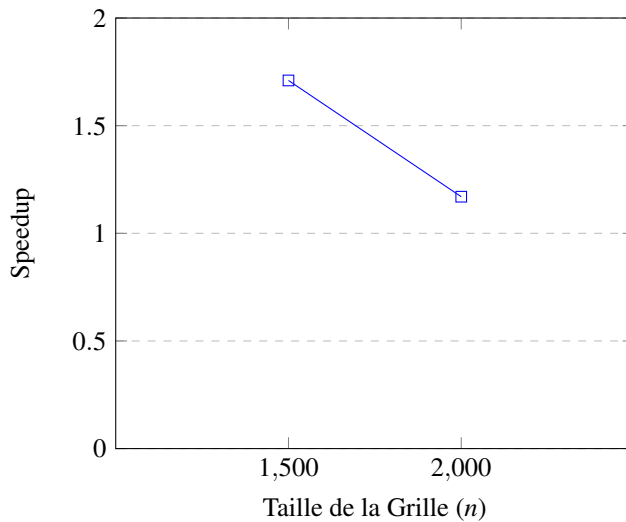


TABLE 3 – Speedup Global en fonction de la taille de la grille (Partie 2)

Taille de la Grille (n)	Temps Séquentiel (s)	Temps Parallèle (s)	Speedup
1500	0.297567	0.17396	1.71
2000	0.410889	0.349725	1.17

6.4 Interprétation du Speedup

— Pour $n=1500$: Speedup = 1.71

- Interprétation : La parallélisation MPI avec 2 processus permet d’obtenir une accélération significative de 71 % par rapport à la version séquentielle. Cela montre que la séparation des tâches (affichage sur le rank 0 et calcul sur le rank 1) est efficace pour cette taille de grille. Les communications entre les deux processus sont bien gérées et n’introduisent pas de goulot d’étranglement majeur.
- Pour $n=2000$: Speedup = 1.17
 - Interprétation : Le speedup diminue à 1.17, ce qui correspond à une accélération de seulement 17 %. Cela indique que pour une grille plus grande, les temps de communication entre les processus deviennent plus importants par rapport au temps de calcul. La parallélisation MPI avec seulement 2 processus n’est pas suffisante pour exploiter efficacement les ressources disponibles pour des problèmes de grande taille.

6.5 Conclusion de l’implémentation

Grâce à cette nouvelle architecture :

- L’affichage et le calcul sont désormais exécutés en parallèle, ce qui évite les blocages.
- Les communications sont optimisées grâce à l’utilisation de messages asynchrones (MPI_Irecv, MPI_Isend).
- Le programme peut détecter automatiquement la fin de la simulation sans interruption grâce à MPI_Iprobe.
- L’impact des communications est suivi en temps réel avec MPI_Reduce.

7 Étape 3 : MPI + OpenMP

Dans cette étape, nous combinons MPI et OpenMP afin d’exploiter au mieux les architectures multi-nœuds et multi-cœurs :

- **MPI** est utilisé pour répartir la simulation en plusieurs sous-domaines entre différents processus.
- **OpenMP** est intégré à l’intérieur de chaque processus MPI pour paralléliser les calculs sur plusieurs cœurs.

Cette hybridation permet d’optimiser la répartition de la charge de travail et de limiter les échanges de données entre processus.

7.1 Ajout d’OpenMP dans les processus MPI (simulation.cpp)

L’unique modification dans `simulation.cpp` est l’inclusion du fichier d’en-tête OpenMP :

```
1 #include <omp.h>
```

Cela permet aux processus MPI d’exploiter OpenMP pour exécuter leurs calculs en parallèle. Cependant, la logique d’initialisation MPI et la gestion des communications restent inchangées par rapport à l’étape 2.

7.2 Parallélisation interne des calculs

L’ajout d’OpenMP a été réalisé dans la mise à jour du modèle de propagation du feu. Chaque processus MPI gère un sous-domaine, et OpenMP est utilisé pour traiter ce sous-domaine en parallèle. (`model.cpp`)

```
1 // Mise à jour parallèle de la propagation du feu
2 #pragma omp parallel for schedule(static)
3 for (int i = 0; i < static_cast<int>(m_geometry); ++i) {
4     for (int j = 0; j < static_cast<int>(m_geometry); ++j) {
5         std::size_t key = i * m_geometry + j;
6         if (m_fire_map[key] > 0) {
7             // Mise à jour de l'état du feu en parallèle
8         }
9     }
10 }
```

Cette modification permet :

- Une accélération du traitement au sein de chaque processus MPI.
- Une charge de travail plus équilibrée entre les cœurs d’un même nœud.
- Une réduction du nombre de processus MPI nécessaires, limitant ainsi la surcharge de communication.

7.3 Optimisation des communications MPI

Une conséquence directe de l'introduction d'OpenMP est la diminution du nombre total de processus MPI. Chaque processus est maintenant capable d'effectuer plus de travail indépendamment, ce qui réduit le besoin de communication inter-processus.

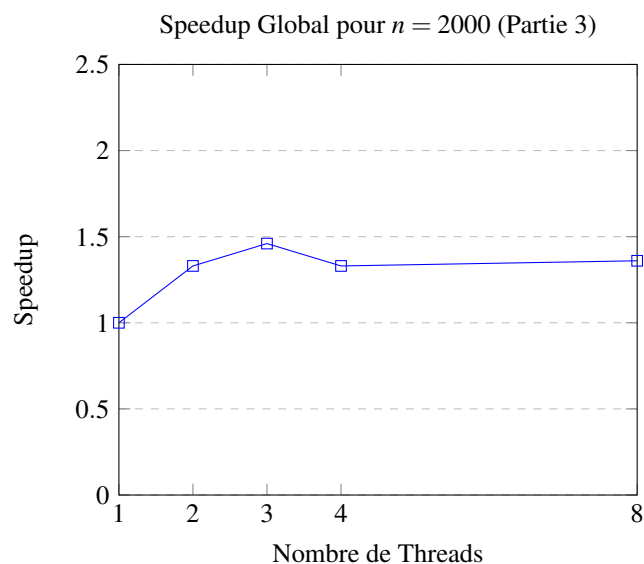
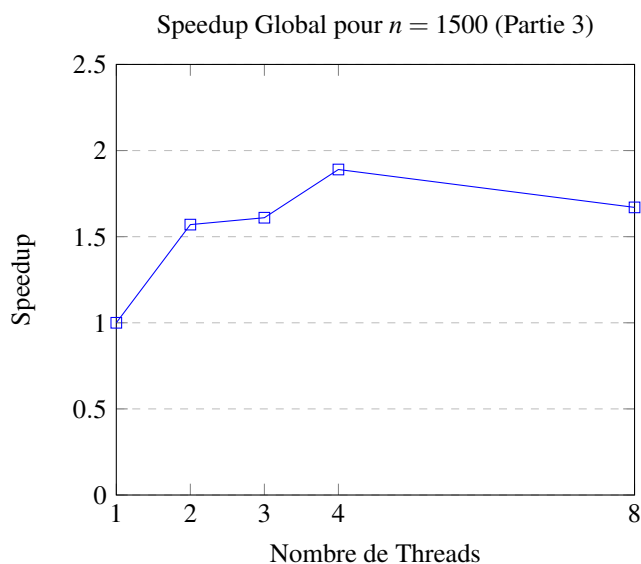
L'envoi des cartes mises à jour reste basé sur des transmissions asynchrones, mais il est maintenant effectué par un plus petit nombre de processus MPI :

```
1 // Réduction du nombre de messages MPI grâce à OpenMP
2 MPI_Isend(vegetation.data(), vegetation.size(), MPI_UINT8_T, 0, 0, MPI_COMM_WORLD, &
  reqs[0]);
3 MPI_Isend(fire.data(), fire.size(), MPI_UINT8_T, 0, 1, MPI_COMM_WORLD, &reqs[1]);
4 MPI_Waitall(2, reqs, MPI_STATUSES_IGNORE);
```

Avec cette optimisation :

- Moins de processus MPI envoient des messages, réduisant la latence des communications.
- Les échanges entre processus sont moins fréquents, car chaque processus traite plus de données localement.

7.4 Résultats obtenus



7.5 Interprétation des résultats obtenus

- Pour $n=1500$:
 - Le speedup augmente avec le nombre de threads, atteignant un maximum de 1.89 pour 4 threads.
 - Pour 8 threads, le speedup diminue légèrement à 1.67, ce qui est dû à l'utilisation de oversubscribe. En effet, notre machine ne présente que 4 coeurs et pour aller au delà de ces 4 coeurs physiques, il faut utiliser cette option qui a cependant des effets indésirables sur le speedup
- Pour $n=2000$:
 - Le speedup est plus faible que pour $n=1500$, avec un maximum de 1.46 pour 3 threads.
 - Pour 4 et 8 threads, le speedup reste autour de 1.33-1.36, et ainsi la parallélisation semble moins efficace pour une grille plus grande
- Analyse Globale :
 - La combinaison OpenMP + MPI montre une amélioration modérée des performances, avec un speedup maximal de 1.89 pour $n=1500$ et 1.46 pour $n=2000$.
 - La diminution du speedup pour un grand nombre de threads (8) est due au fait que notre ordinateur ne possède que 4 coeurs physiques.

7.6 Conclusion de l'implémentation

L'introduction d'OpenMP dans les processus MPI permet plusieurs améliorations :

- Meilleure exploitation des ressources CPU : chaque processus MPI utilise plusieurs coeurs grâce à OpenMP.
- Amélioration des performances : calculs plus rapides .

8 Étape 4 : Parallélisation complète avec MPI

Dans cette dernière étape, la parallélisation est entièrement réalisée avec MPI, sans recours à OpenMP. Désormais, chaque processus MPI gère une sous-région spécifique de la grille de simulation et échange uniquement les informations nécessaires avec ses voisins.

8.1 Décomposition de la grille entre processus

Jusqu'à présent, chaque processus MPI manipulait la totalité de la grille ou envoyait l'ensemble des données au processus maître. Avec cette nouvelle approche, chaque processus ne gère qu'une portion de la grille. La grille est divisée en régions approximativement égales (égales lorsque la taille du terrain est un multiple du nombre de processus), chacune étant attribuée à un processus différent. Cette décomposition permet de favoriser un très bon équilibrage de charges entre les processus de calcul.

Cependant, cette décomposition de la grille sera limitée par la présence de

- Dépendances Voisines : Chaque cellule de la grille dépend de ses 4 voisins directs (Nord, Sud, Est, Ouest). Les cellules Est et Ouest sont locales à la sous-grille, tandis que les cellules Nord et Sud peuvent appartenir à une autre sous-grille, nécessitant l'utilisation de cellules fantômes.

Pour faire face à cette difficulté, il est alors nécessaire d'introduire la notion d'introduire un échange de cellules "Fantômes".

- Cellules Fantômes : Les cellules fantômes sont des copies des cellules situées à la frontière des sous-grilles adjacentes. Elles permettent à chaque processus de connaître l'état des cellules voisines sans avoir à accéder directement à la mémoire d'un autre processus. Ces cellules sont mises à jour avant chaque itération de la simulation pour assurer une propagation correcte du feu entre les sous-grilles. Ainsi lorsque le feu se propage jusqu'à la limite entre deux régions de la grille détenues par des processus différents, nous pouvons mettre la grille globale à jour de façon cohérente comme si la grille n'avait pas été divisée.

8.2 Introduction des cellules fantômes

L'un des défis de cette approche est la propagation correcte du feu entre les régions gérées par différents processus. Pour cela, des **cellules fantômes** sont introduites. Ces cellules permettent de stocker temporairement l'état des bords de chaque sous-région afin d'assurer une propagation du feu entre des régions différentes de la grille qui ne sont pas détenues par le même processus.

L'échange des cellules fantômes se fait via une communication inter-processus :

```
1 // change des cellules fantômes avec les processus voisins
2 void update_ghost_cells(std::vector<std::uint8_t>& local_fire,
3                         std::vector<std::uint8_t>& local_vegetation,
4                         int local_rows, int cols,
5                         MPI_Comm newComm, int comp_rank, int comp_size)
6 {
7     // Echange pour le FEU -----
8     MPI_Request fire_requests[4];
9     int fire_req_count = 0;
10
11     // Réception Nord / Envoi Nord
12     if (comp_rank > 0) {
13         MPI_Irecv(local_fire.data(), cols, MPI_UINT8_T, comp_rank-1, 0, newComm, &
14         fire_requests[fire_req_count++]);
15         MPI_Isend(local_fire.data() + cols, cols, MPI_UINT8_T, comp_rank-1, 1, newComm, &
16         fire_requests[fire_req_count++]);
17     }
18
19     // Réception Sud / Envoi Sud
20     if (comp_rank < comp_size-1) {
21         MPI_Irecv(local_fire.data() + (local_rows+1)*cols, cols, MPI_UINT8_T, comp_rank
22         +1, 1, newComm, &fire_requests[fire_req_count++]);
23         MPI_Isend(local_fire.data() + local_rows*cols, cols, MPI_UINT8_T, comp_rank+1, 0,
24         newComm, &fire_requests[fire_req_count++]);
25     }
26
27     MPI_Waitall(fire_req_count, fire_requests, MPI_STATUSES_IGNORE);
28
29     // change pour la VEGETATION -----
30     MPI_Request veg_requests[4];
31     int veg_req_count = 0;
32
33     // Réception Nord / Envoi Nord (tags différents: 2/3)
34     if (comp_rank > 0) {
35         MPI_Irecv(local_vegetation.data(), cols, MPI_UINT8_T, comp_rank-1, 2, newComm, &
36         veg_requests[veg_req_count++]);
37         MPI_Isend(local_vegetation.data() + cols, cols, MPI_UINT8_T, comp_rank-1, 3,
38         newComm, &veg_requests[veg_req_count++]);
39     }
40
41     // Réception Sud / Envoi Sud
42     if (comp_rank < comp_size-1) {
43         MPI_Irecv(local_vegetation.data() + (local_rows+1)*cols, cols, MPI_UINT8_T,
44         comp_rank+1, 3, newComm, &veg_requests[veg_req_count++]);
45         MPI_Isend(local_vegetation.data() + local_rows*cols, cols, MPI_UINT8_T, comp_rank
46         +1, 2, newComm, &veg_requests[veg_req_count++]);
47     }
48
49     MPI_Waitall(veg_req_count, veg_requests, MPI_STATUSES_IGNORE);
50
51     // Conditions aux limites NEUMANN -----
52     // Pour le FEU
53     if (comp_rank == 0) {
54         std::copy(local_fire.begin() + cols, local_fire.begin() + 2*cols, local_fire.
55         begin());
56     }
57     if (comp_rank == comp_size-1) {
58         std::copy(
59             local_fire.begin() + (local_rows) * cols,
60             local_fire.begin() + (local_rows + 1) * cols,
61             local_fire.begin() + (local_rows + 1) * cols
62         );
63     }
```



```

54 }
55
56 // Pour la VEGETATION
57 if (comp_rank == 0) {
58     std::copy(local_vegetation.begin() + cols,
59               local_vegetation.begin() + 2*cols,
60               local_vegetation.begin());
61 }
62 if (comp_rank == comp_size-1) {
63     std::copy(local_vegetation.begin() + local_rows*cols,
64               local_vegetation.begin() + (local_rows+1)*cols,
65               local_vegetation.begin() + (local_rows+1)*cols);
66 }
67 MPI_Barrier(newComm);
68 }

```

8.3 Échange des Cellules Fantômes

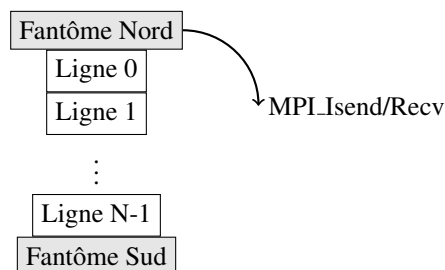
Cette fonction synchronise les cellules fantômes entre processus voisins pour deux grilles : **feu** et **végétation**.

8.3.1 Paramètres

- `local_fire/local_vegetation` : Grilles locales (incluant les fantômes)
- `local_rows` : Nombre de lignes *réelles* (sans fantômes)
- `cols` : Nombre de colonnes (identique pour tous)
- `newComm` : Communicateur MPI pour les processus de calcul
- `comp_rank` : Rang du processus dans `newComm`
- `comp_size` : Nombre total de processus de calcul

8.3.2 Architecture des Données

Structure mémoire :



8.3.3 Étapes d'Échange

1. Communication Non-Bloquante :

- Utilisation de `MPI_Isend` et `MPI_Irecv`
- 4 requêtes maximum par grille (Nord/Send+Recv et Sud/Send+Recv)

2. Synchronisation :

- `MPI_Waitall` garantit la complétion des échanges
- Barrière MPI finale pour synchroniser tous les processus

8.3.4 Conditions aux Limites

Pour les processus extrêmes (`comp_rank == 0` ou `comp_size-1`) :

Fantômes ← Copie de la première/dernière ligne réelle

`std::copy(begin+cols, begin+2*cols, begin)` → Neumann Nord

`std::copy(end-cols, end, end)` → Neumann Sud

8.3.5 Optimisations

- Chevauchement calcul/communication via MPI non-bloquant
- Séparation des canaux de communication (tags différents)
- Copie mémoire optimisée pour les bords

8.4 Répartition des Taches

- Processus d’Affichage (Rank 0) : Le processus de rang global 0 est responsable de l’affichage de la simulation. Il collecte les sous-grilles locales des autres processus et les affiche à l’écran.
- Processus de Calcul (Rangs 1 à N) : Les autres processus sont responsables du calcul de la propagation du feu sur leurs sous-grilles respectives. Ils mettent à jour les cellules fantômes et effectuent les calculs locaux.
- Processus de Relais (Rank 1) : Le processus de rang global 1 joue un rôle particulier en tant que relais entre le processus d’affichage et les autres processus de calcul. Il collecte les données des autres processus de calcul et les transmet au processus d’affichage.

8.5 Optimisation des échanges et synchronisation

Avec cette nouvelle organisation, l’envoi des données mises à jour ne se fait plus après chaque itération. À la place, une synchronisation globale permet de vérifier si la simulation doit continuer :

```
1 // Vérification de l'activité globale du feu
2 int local_active = local_continue ? 1 : 0;
3 int global_active = 0;
4 MPI_Allreduce(&local_active, &global_active, 1, MPI_INT, MPI_SUM, newComm);
5 simulation_running = (global_active > 0);
```

Grâce à cette approche :

- Tous les processus décident ensemble de l’arrêt de la simulation.
- La charge de communication est équilibrée entre les processus. Le processus de rang 1 a néanmoins plus de communications à faire. Il échange des informations cruciales avec le processus de l’affichage comme par exemple la grille globale rassemblée auprès de tous les processus de calculs.

8.6 Récupération finale des données et affichage

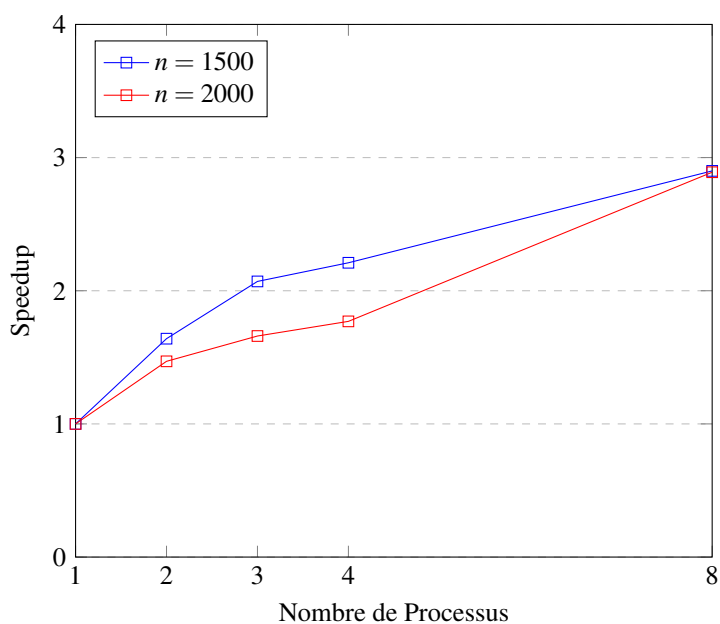
Une fois la simulation terminée, les données de chaque processus sont rassemblées pour être affichées. Contrairement aux versions précédentes où un seul processus gérait l’affichage, ici, les données sont récupérées de manière ordonnée grâce à `MPI_Gatherv` :

```
1 // Rassemblement des données finales
2 MPI_Gatherv(local_fire_data.data(), local_fire_data.size(), MPI_UINT8_T,
3             global_fire.data(), counts.data(), displs.data(), MPI_UINT8_T,
4             0, newComm);
```

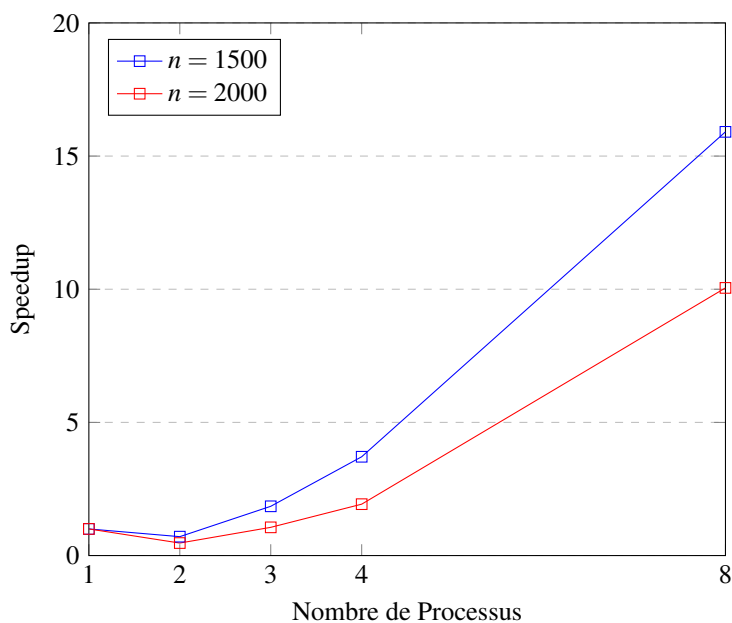
Cette méthode permet d’optimiser la collecte des informations sans surcharger le processus maître.

8.7 Résultats obtenues

Speedup Global en fonction du nombre de processus



Speedup en Temps de Calcul en fonction du nombre de processus



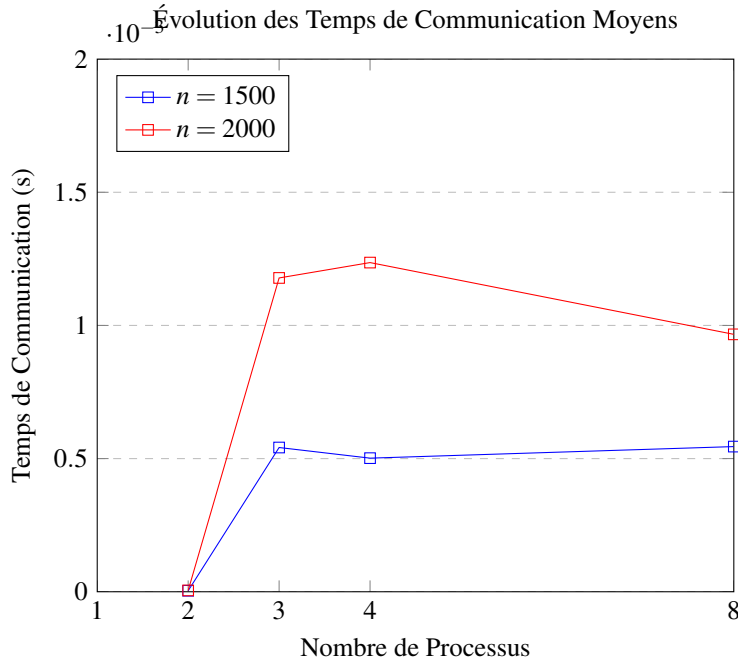


TABLE 4 – Temps d’exécution et Speedup pour $n = 1500$

Nombre de Processus	Temps Calcul (s)	Temps Affichage (s)	Temps Total (s)	Speedup (Global)	Speedup (Calcul)
1 (Séquentiel)	0.129754	0.167813	0.297567	1.00	1.00
2	0.181874	0.172482	0.181874	1.64	0.71
3	0.0701699	0.143596	0.143596	2.07	1.85
4	0.0349828	0.134875	0.134875	2.21	3.71
8	0.00815504	0.102482	0.102482	2.90	15.91

TABLE 5 – Temps d’exécution et Speedup pour $n = 2000$

Nombre de Processus	Temps Calcul (s)	Temps Affichage (s)	Temps Total (s)	Speedup (Global)	Speedup (Calcul)
1 (Séquentiel)	0.124577	0.286312	0.410889	1.00	1.00
2	0.265587	0.278707	0.278707	1.47	0.47
3	0.117127	0.247817	0.247817	1.66	1.06
4	0.0645298	0.232627	0.232627	1.77	1.93
8	0.0123973	0.142226	0.142226	2.89	10.05

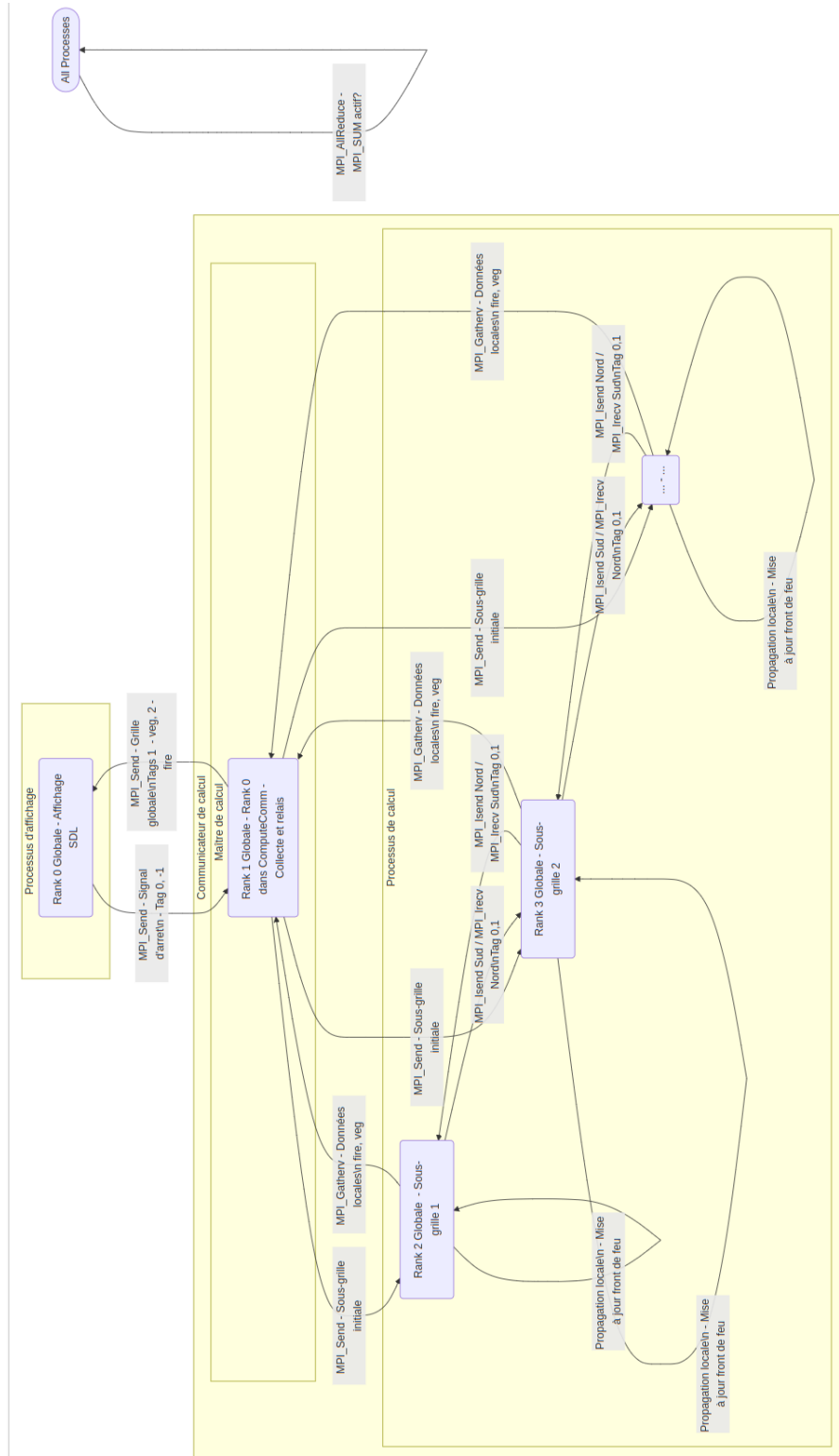


FIGURE 3 – Architecture des communications.

8.8 Conclusion

Avec cette version entièrement parallélisée avec MPI :

- L'utilisation de cellules fantômes assure la propagation correcte du feu entre sous-domaines.
- Cette approche favorise également un bon équilibrage de charges entre les processus de calcul.

Cette approche finalise l'optimisation de la simulation, assurant une exécution efficace sur des architectures massivement parallèles.

8.9 Interprétation des résultats

- Speedup Global : Le speedup global augmente avec le nombre de processus, mais il est limité par le temps d'affichage, qui ne peut pas être parallélisé. Pour $n=1500$, le speedup atteint 2.90 avec 8 processus, tandis que pour $n=2000$, il atteint 2.89.
- Speedup en Temps de Calcul : Le speedup en temps de calcul montre une amélioration significative, en particulier pour $n=1500$, où il atteint 15.91 avec 8 processus. Cela indique que la parallélisation est très efficace pour le calcul, mais que les communications et l'affichage limitent le speedup global.
- Temps de Communication : Les temps de communication augmentent avec le nombre de processus, mais restent relativement faibles par rapport au temps de calcul. Cela montre que les communications ne sont pas un goulot d'étranglement majeur dans cette simulation.

8.10 Comparaison avec la partie 3

- Partie 3 (OpenMP + MPI) : Le speedup est modéré, avec une amélioration significative pour 4 threads, mais une légère baisse pour 8 threads. Cela peut être dû à la surcharge de gestion des threads.
- Partie 4 (MPI seul) : Le speedup est nettement meilleur, en particulier pour 8 processus, où il atteint 2.90 pour $n=1500$ et 2.89 pour $n=2000$. Cela montre que la parallélisation MPI est plus efficace pour cette simulation.
- Comparaison : La partie 4 (MPI) surpasse la partie 3 (OpenMP + MPI) en termes de speedup, en particulier pour un grand nombre de processus. Cela suggère que MPI est mieux adapté pour ce type de simulation distribuée.

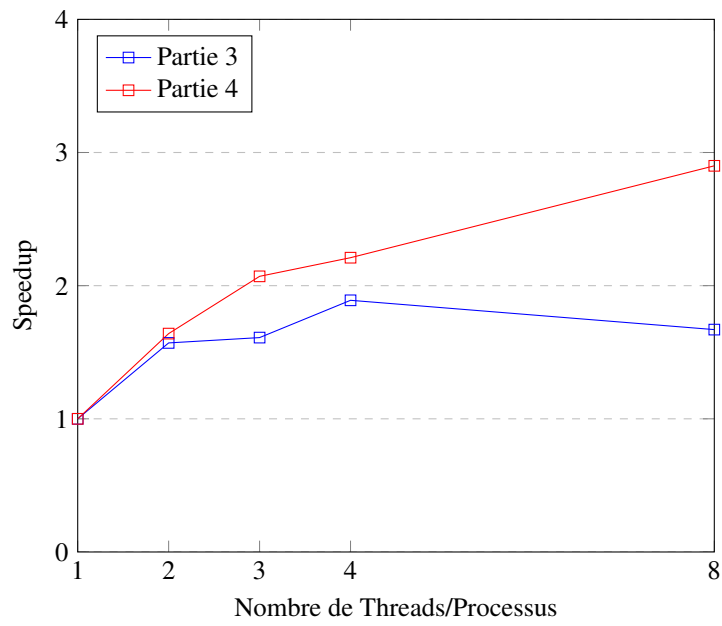
TABLE 6 – Speedup Global pour $n = 1500$

Nombre de Threads/Processus	Temps Partie 3 (s)	Speedup Partie 3	Temps Partie 4 (s)	Speedup Partie 4
1 (Séquentiel)	0.297567	1.00	0.297567	1.00
2	0.18941	1.57	0.181874	1.64
3	0.184722	1.61	0.143596	2.07
4	0.157255	1.89	0.134875	2.21
8	0.178025	1.67	0.102482	2.90

TABLE 7 – Speedup Global pour $n = 2000$

Nombre de Threads/Processus	Temps Partie 3 (s)	Speedup Partie 3	Temps Partie 4 (s)	Speedup Partie 4
1 (Séquentiel)	0.410889	1.00	0.410889	1.00
2	0.308398	1.33	0.278707	1.47
3	0.281419	1.46	0.247817	1.66
4	0.309858	1.33	0.232627	1.77
8	0.30248	1.36	0.142226	2.89

Comparaison des Speedups Globaux pour $n = 1500$



Comparaison des Speedups Globaux pour $n = 2000$

